

黄东卫 编著

非线性数学基础引论

Introduction to Nonlinear Mathematics Foundation



天津大学出版社
TIANJIN UNIVERSITY PRESS

非线性数学基础引论

Introduction to Nonlinear
Mathematics Foundation

黄东卫 编著



图书在版编目(CIP)数据

非线性数学基础引论 / 黄东卫编著. — 天津 : 天津大学出版社, 2018. 9

ISBN 978-7-5618-6241-4

I. ①非… II. ①黄… III. ①非线性—研究生—教材
IV. ①O151. 2

中国版本图书馆 CIP 数据核字(2018)第 207915 号

出版发行 天津大学出版社
地 址 天津市卫津路 92 号天津大学内(邮编:300072)
电 话 发行部:022-27403647
网 址 publish.tju.edu.cn
印 刷 北京虎彩文化传播有限公司
经 销 全国各地新华书店
开 本 185mm×260mm
印 张 10.75
字 数 268 千
版 次 2018 年 9 月第 1 版
印 次 2018 年 9 月第 1 次
定 价 28.50 元

凡购本书,如有缺页、倒页、脱页等质量问题,烦请向我社发行部门联系调换

版权所有 侵权必究

前　　言

非线性科学是科学研究所中的一个重要领域，其包含的内容纷繁复杂，涉及数学、物理、化学、计算机、建筑工程、生物科学、机械工程、管理工程、生物生态、经济金融、医药医学工程以及航空航天等学科。

本书旨在介绍非线性科学研究所中一些常用的基本数学知识和方法，以期启发读者发现、理解、认识一些简单的非线性现象。近年来，非线性数学的研究工作在理论层面的精深成果不断出现，广大科技人员更关注的是非线性数学与其他学科的交叉融合，本书旨在以简短的篇幅，避开或高深或冗长的理论推导，仅给非线性数学的初学者一个简洁朴素的引导，以期抛砖引玉，若读者能在此后将所学知识应用到各自的学习工作中，或激发读者进一步深入探索非线性数学的兴趣，则编著者不胜欣慰。

读者应具有高等数学、线性代数、概率论与数理统计、数值分析的基础知识，若能对数学软件 Mathematica, Matlab, SPSS 有一定了解则更好。

本书仅供本科生、研究生及对非线性科学有兴趣的读者参考使用。

鉴于编著者的学识有限，错误与不足在所难免，敬请批评指正，不胜感激。

致谢

1. 本书主要参考了许兰喜先生编写的《高等应用数学——非线性分析》(化学工业出版社)，谢季坚先生和邓小炎先生编写的《现代数学方法选讲》(高等教育出版社)，杜纲先生编著的《管理数学基础——理论与应用》(天津大学出版社)的内容，还有百度文库中的部分内容，在此向上述作者表示衷心感谢。

2. 本书的编写工作得到了天津工业大学 2016 年“十三五”学位与研究生教育项目 (No. 52010535) 的资助。

课程相关资料请关注微信公众号：Maths_life



目 录

第 1 章 基础知识	(1)
1.1 常微分方程组解的存在唯一性定理	(1)
1.2 解的延拓	(5)
1.3 解对初值的连续性和可微性定理	(6)
1.4 解对参数的连续性与可微性定理	(6)
第 2 章 常微分方程稳定性理论简述	(7)
2.1 基本概念	(7)
2.2 二维自治系统的稳定性	(9)
2.3 线性微分方程组	(15)
2.4 奇点附近性态	(21)
2.5 Lyapunov 第二稳定性判别方法	(25)
2.6 周期解和极限环	(28)
2.7 相图的拓扑结构	(30)
第 3 章 动力系统简述	(35)
3.1 流的概念	(35)
3.2 动力系统轨线的极限状态	(37)
第 4 章 分岔与混沌简述	(40)
4.1 引言	(40)
4.2 分岔的简单分类	(41)
4.3 研究混沌的方法简述	(50)
4.4 中心流形	(53)
第 5 章 分形与分维简述	(57)
5.1 分形现象简述	(57)
5.2 分形的意义与分维	(60)
5.3 分形维数的其他定义	(63)
第 6 章 层次分析法简述	(67)
6.1 层次分析法	(67)
6.2 层次分析法(AHP)计算实例	(70)
6.3 综合评价理论基础	(73)
第 7 章 模糊数学基础简述	(77)
7.1 模糊数学的诞生	(77)
7.2 集合与关系	(78)

7.3 模糊集合及其运算	(83)
7.4 模型识别	(89)
7.5 聚类分析	(94)
7.6 模糊决策	(106)
7.7 二元对比决策	(108)
第8章 统计学应用简述	(115)
8.1 方差分析	(115)
8.2 试验设计	(126)
第9章 神经网络简述	(141)
9.1 神经网络概念	(141)
9.2 人工神经网络的基本特征	(142)
9.3 激发函数	(143)
9.4 BP 神经网络简述	(146)
9.5 径向基函数神经网络简述	(157)
9.6 广义回归神经网络(GRNN)简述	(159)

第1章 基础知识

在浩瀚无垠的宇宙中,人们所面临的所有事物都是随时间变化的;所谓永恒,只是相对的,或只体现在理论层面.

如何描述事物的发展变化,正是动力系统研究的基本问题,在这些问题中,有一类问题可以转化为微分方程(组)问题,用微分方程模型来描述该问题.在数学模型建立完成后,通过分析模型的状态变量的性质与变化趋势,从而说明实际问题各类变量的性质与状态.这项工作既要给出定性理论分析结果,更要给出定量数值化、可视化的直观表达与演示,从而形象地展示问题中各个状态变量的发展演化过程,揭示目标变量(事物)发展的基本规律.

就某种意义而言,通过对模型的分析,展示出事物的未知与未来的发展性态,对研究人员乃至对人类有限的时间或生命而言是极其有价值的.例如,人们已经可以演化出星空流转、大气环流、天气预报、物种繁衍、药物作用机理、海洋和江河的生态水文等多种事物的发展性态.

本章仅列出常微分方程定性理论的一些基本概念与基本定理,为学习以后各章的知识提供必要的基本理论基础.

1.1 常微分方程组解的存在唯一性定理

1.1.1 基本概念

1. 可列集

集合 A 中元素的个数称为集合 A 的基数(势),记为 \bar{A} .

例如, $A = \{a_1, a_2, \dots, a_n\}$, 则 $\bar{A} = n$, 此时称 A 为有限集.

若 A 为无限集, 即 A 有无限多个元素, 则 A 的基数就不是显而易见的.

例如, 区间 $[0, 1]$ 中全体有理点所成的集合和全体无理点所成的集合相比, 哪个集合的基数更大?

若两个集合 A 和 B 之间存在一一对应的映射关系, 则称 A 和 B 有“同样多”的元素(或者称 A 和 B 有同样的基数), 也称 A 和 B 对等, 记为 $A \sim B$ (或 $\bar{A} = \bar{B}$).

若集合 A 的所有元素可以按次序排成一列, 即 $A = \{a_1, a_2, \dots\}$, 则称 A 为可列集(或可数集), 或称 A 是可列的(或可数的). 换言之, A 可与自然数集 N^+ 对等.

(1) 自然数集是可列集.

(2) 整数集是可列集, $\{0, 1, -1, 2, -2, \dots\}$.

(3) 若 A_i ($i=1, 2, \dots$) 为可列个集合, 且 A_i 自身是可列的, 则 $\bigcup_{i=1}^{\infty} A_i$ 也是可列集.

(4) $[0,1]$ 上的全体实数是不可列的.

康托尔(Cantor)集的概念: $[0,1]$ 分成3等份,可得到3个区间,去掉中间的那个,对剩余的两段,分别三等分,各去掉中间一段,剩下更短的四段, \dots ,将这样的操作一直继续下去,直至无穷,由于在不断分割舍弃过程中,所形成的线段数目越来越多,长度越来越小,在极限的情况下,得到一个离散的点集,称为康托尔点集,Cantor集.这时称为康托尔点集的极限图形长度趋于0,线段数目趋于无穷,实际上相当于一个点集.

分析 操作 n 次后,集合的长度 $r=\left(\frac{2}{3}\right)^n$,边数 $N(r)=2^n$,且 $\lim_{n \rightarrow \infty} r = \lim_{n \rightarrow \infty} \left(\frac{2}{3}\right)^n = 0$.

用反证法证明:假设 $[0,1]$ 上全体实数是可列的,记为 $\{x_1, x_2, \dots, x_n, \dots\} (= [0,1])$.

在 $[0,1]$ 上构造Cantor集,把 $[0,1]$ 三等分,将不含 x_1 的集合记为 I_1 ;继续将 I_1 三等分,将不含 x_2 的集合记为 I_2 ;如此这般做下去,将会得到 $\bigcap_{n=1}^{\infty} I_n = x^*$.

根据上述做法, $x^* \notin \{x_1, x_2, \dots, x_n, \dots\}$,但 $I_n \in [0,1]$, $\bigcap_{n=1}^{\infty} I_n = x^* \in [0,1]$,所以矛盾,故假设错误,即 $[0,1]$ 上全体实数是不可列的.

进而得出结论: $[0,1]$ 中的有理点集是可列的,但 $[0,1]$ 中的无理点集是不可列的.

2. n 维线性空间 \mathbf{R}^n

设 $x \in \mathbf{R}^n$, $y \in \mathbf{R}^n$, $x = \begin{pmatrix} x_1 \\ x_2 \\ \vdots \\ x_n \end{pmatrix}$, $y = \begin{pmatrix} y_1 \\ y_2 \\ \vdots \\ y_n \end{pmatrix}$,定义加法和数乘法(线性运算)为

$$x \pm y = \begin{pmatrix} x_1 \pm y_1 \\ x_2 \pm y_2 \\ \vdots \\ x_n \pm y_n \end{pmatrix} \in \mathbf{R}^n, \quad ax = \begin{pmatrix} ax_1 \\ ax_2 \\ \vdots \\ ax_n \end{pmatrix} \in \mathbf{R}^n (a \text{ 为实数}).$$

显然 \mathbf{R}^n 对上述两种运算是封闭的,此时称 \mathbf{R}^n 为一个线性空间.

若在 \mathbf{R}^n 中两个元素之间定义一种内积运算(inner product)(亦称数量积)

$$\langle x, y \rangle = (x_1, x_2, \dots, x_n) \cdot (y_1, y_2, \dots, y_n)^T = \sum_{i=1}^n x_i y_i \in \mathbf{R},$$

此时 \mathbf{R}^n 又称为内积空间.

若 $x=y$,则 $\langle x, y \rangle = \langle x, x \rangle = \sum_{i=1}^n x_i^2$.则将 $\left\{ \sum_{i=1}^n x_i^2 \right\}^{\frac{1}{2}} = \langle x, x \rangle^{\frac{1}{2}} \triangleq \|x\|$ 称为 x 的模或范数(norm).显然 $\|\cdot\|$ 具有以下性质:

$$(1) \|x\| \geq 0, \|x\|=0 \Leftrightarrow x=0;$$

$$(2) \|ax\|=|a| \cdot \|x\|;$$

$$(3) \|x+y\| \leq \|x\| + \|y\| \text{ (三角不等式).}$$

内积 $\langle x, y \rangle$ 满足:

$$(1) \langle x, y \rangle = \langle y, x \rangle;$$

$$(2) \langle x+y, z \rangle = \langle x, z \rangle + \langle y, z \rangle, \quad \langle ax, y \rangle = a \langle x, y \rangle;$$

$$(3) \langle x, x \rangle \geq 0, \quad \langle x, x \rangle = 0 \Leftrightarrow x = 0;$$

$$(4) \text{施瓦茨(Schwartz)不等式 } |\langle x, y \rangle| \leq \|x\| \cdot \|y\|.$$

此时的 \mathbf{R}^n 称为赋范线性空间.

范数实际上是绝对值的推广, 绝对值可以看成 \mathbf{R} 中的范数. 但是若空间的维数是高维, 甚至是无穷维时, 为了描述不同元素之间的差异和靠近程度, 就必须引入一种度量的方法, 这就是范数.

这些空间中的元素在实际问题中可能代表某种状态.

$$\text{常见的范数还有 } \|f\| = \left\{ \int_a^b f^p(x) dx \right\}^{\frac{1}{p}}, p \geq 2.$$

例如, $\|f\| = \left\{ \int_a^b f^2(x) dx \right\}^{\frac{1}{2}}$, 其中 $f(x)$ 为 $[a, b]$ 上的平方可积函数. 又如

$$\|\sin x\|_{[0, 2\pi]} = \left\{ \int_0^{2\pi} \sin^2(x) dx \right\}^{\frac{1}{2}} = \left(4 \times \frac{1}{2} \times \frac{\pi}{2} \right)^{\frac{1}{2}} = \sqrt{\pi} \approx 1.772.$$

若 $f(x) = x - \sin x$, 则它的范数为

$$\|f\|_{[0, 2\pi]} = \left\{ \int_0^{2\pi} (x^2 - 2x \sin x + \sin^2 x) dx \right\}^{\frac{1}{2}} = \left(\frac{8\pi^3}{3} + 4\pi + \pi \right)^{\frac{1}{2}} \approx 9.9192.$$

当然, 完全可以根据问题的实际意义或需要定义自己的范数.

$$\text{再如 } \|f\| = \left\{ \frac{1}{b-a} \int_a^b f^2(x) dx \right\}^{\frac{1}{2}}, \text{ 这恰好与下面的实际问题吻合.}$$

下面确定交流电的电压及电流强度.

由于交流电是随时间变化的, 在计算时有颇多不便, 为此在电工学中通常使用“有效值”来表示交流电量的大小. 当交流电流 $i(t)$ 在一个周期内消耗在电阻 R 上的平均功率, 等于直流电流 I 消耗在电阻 R 上的功率时, 这个直流电流的数值 I 就叫做交流电流的有效值. 由于直流电流 I 消耗在电阻 R 上的功率为 $I^2 R$, 而交流电流在一个周期内消耗在电阻 R

上的平均功率为 $\frac{1}{T} \int_0^T R i^2(t) dt$, 因此有 $I^2 R = \frac{1}{T} \int_0^T R i^2(t) dt$, 从而有 $I = \sqrt{\frac{1}{T} \int_0^T i^2(t) dt}$; 同样可

以计算出交流电压的有效值为 $U = \sqrt{\frac{1}{T} \int_0^T u^2(t) dt}$.

对于正弦交流电流 $i = I_m \sin(\omega t + \varphi_i)$, 其有效值为

$$\begin{aligned} I &= \sqrt{\frac{1}{T} \int_0^T i^2(t) dt} = \sqrt{\frac{1}{T} \int_0^T I_m^2 \sin^2(\omega t + \varphi_i) dt} \\ &= \sqrt{\frac{I_m^2}{2T} \int_0^T [1 - \cos(2\omega t + \varphi_i)] dt} = \frac{I_m}{\sqrt{2}} = 0.707 I_m. \end{aligned}$$

同样, 也可以计算出正弦电压的有效值为 $U = \frac{U_m}{\sqrt{2}} = 0.707 U_m$.

可见, 正弦电量的有效值分别是其最大值的 $\frac{1}{\sqrt{2}}$ (0.707). 在实际应用中, 一般所说交流

电量的大小都是指它的有效值. 我国民用交流电的电压是 220 V, 低压动力用电电压是 380

V, 均为有效值. 通常使用的各种交流电机, 电器设备铭牌标注的电压、电流数值, 交流电压表、电流表的示数等也都是有效值.

利用范数可以在 \mathbf{R}^n 中定义距离: $d(x, y) = \|x - y\|$; 这样 (\mathbf{R}^n, d) 就构成距离空间.

有了距离的定义就可以引入 \mathbf{R}^n 中点列的收敛: $\{x_m\}$ 收敛于 x_0 是指 $\|x_m - x_0\| \rightarrow 0 (m \rightarrow \infty)$. 除此之外, 在此引入以下一系列概念.

(1) 邻域: 设 $x_0 \in \mathbf{R}^n, \delta > 0$, 点集 $\{x | x \in \mathbf{R}^n, \|x - x_0\| < \delta\}$ 称为 x_0 的 δ 邻域, 且记为 $U_\delta(x_0)$, 简称 x_0 的邻域.

(2) n 维开球: $B^n(x_0, r) = \{x \in \mathbf{R}^n | \|x - x_0\| < r\}, (x_0 \in \mathbf{R}^n)$.

(3) n 维闭球: $\overline{B^n}(x_0, r) = \{x \in \mathbf{R}^n | \|x - x_0\| \leq r\}, (x_0 \in \mathbf{R}^n)$.

(4) E 为 \mathbf{R}^n 中的开集: 若对任意 $x_0 \in E$, 存在 $\delta > 0$ 使 $U_\delta(x_0) \subset E$.

(5) E 为 \mathbf{R}^n 中的闭集: 若 $\mathbf{R}^n - E$ 为开集.

(6) 闭包: 设 $A \subset \mathbf{R}^n, x_0 \in \mathbf{R}^n$, 若对任意 $\delta > 0$ 有 $U_\delta(x_0) \cap A \neq \emptyset$, 则称 x_0 为 A 的接触点. 集 A 的接触点的全体所组成的集合称为 A 的闭包, 记为 \bar{A} .

(7) 调密: 设 A, B 均为 \mathbf{R}^n 的子集, 若 $\bar{A} \supset B$, 则称 A 在 B 中调密.

(8) 波雷尔(Borel)集: 以 \mathbf{R}^n 中的开集和闭集为对象作出至多可列次并或交的运算所得的集称为 Borel 集.

有了距离的概念就可以引入函数连续的概念. 对于向量函数

$$\varphi(t) = (\varphi_1(t), \varphi_2(t), \dots, \varphi_n(t))^T : R \rightarrow \mathbf{R}^n,$$

由一元函数的连续、可微和可积性, 不难理解以下的结果和表达式:

(1) $\varphi(t)$ 连续 $\Leftrightarrow \varphi_i(t)$ 连续 ($i=1, 2, \dots, n$);

(2) $\frac{d\varphi}{dt} = \dot{\varphi}(t) = (\dot{\varphi}_1(t), \dot{\varphi}_2(t), \dots, \dot{\varphi}_n(t))^T$;

(3) $\varphi(t)$ 在 $[t_0, t]$ 上的积分为 $\int_{t_0}^t \varphi(\tau) d\tau = \left(\int_{t_0}^t \varphi_1(\tau) d\tau, \int_{t_0}^t \varphi_2(\tau) d\tau, \dots, \int_{t_0}^t \varphi_n(\tau) d\tau \right)^T$;

(4) $\left\| \int_{t_0}^t \varphi(\tau) d\tau \right\| \leq \int_{t_0}^t \|\varphi(\tau)\| d\tau.$

在 \mathbf{R}^n 上定义的向量函数 $g(x) = \begin{bmatrix} g_1(x) \\ g_2(x) \\ \vdots \\ g_n(x) \end{bmatrix} = \begin{bmatrix} g_1(x_1, x_2, \dots, x_n) \\ g_2(x_1, x_2, \dots, x_n) \\ \vdots \\ g_n(x_1, x_2, \dots, x_n) \end{bmatrix}$ 的连续性.

设区域 $D \subset \mathbf{R}^n$, 向量函数 $g(x)$ 在 D 上有定义, 若对任 $x, y \in D$ 有常数 L 使 $\|g(x) - g(y)\| \leq L \|x - y\|$ 成立, 则称 $g(x)$ 在区域 D 上是李氏的(Lipschitz 的), 其中 L 称为李氏常数(李普希茨常数).

增强条件以实现函数满足李普希茨条件, 举例如下.

若 $D \subset \mathbf{R}^n$ 为凸集, $g(x)$ 在 D 上满足 $\left| \frac{\partial g_i(x_1, x_2, \dots, x_n)}{\partial x_j} \right| \leq K, K$ 是常数, 则 $g(x)$ 在 D

上是李氏的. 事实上, 对任意 $i, j = 1, 2, \dots, n$, 有

$$|g_i(\mathbf{x}) - g_i(\mathbf{y})| \leq \sum_{j=1}^n \left| \frac{\partial g_i(\mathbf{y} + \theta(\mathbf{x} - \mathbf{y}))}{\partial x_j} \right| |x_j - y_j| \quad (0 < \theta < 1).$$

该不等式的证明用到了多元函数的泰勒展开和余项表达式,其中 D 的凸性保证了 $\mathbf{y} + \theta(\mathbf{x} - \mathbf{y}) \in D$,而 $|g_i(\mathbf{x}) - g_i(\mathbf{y})| \leq K \|\mathbf{x} - \mathbf{y}\|$,故 $\|g(\mathbf{x}) - g(\mathbf{y})\| \leq n^{\frac{3}{2}} K \|\mathbf{x} - \mathbf{y}\|$.

若对每一 D 中的点存在该点一个邻域 $D_0 \subset D$ 使 $g(\mathbf{x})$ 在 D_0 上是李氏的,则称 $g(\mathbf{x})$ 在 D 上是局部李氏的.例如,若 $g(\mathbf{x})$ 在 D 上有一阶连续的偏导,即 $\frac{\partial g_i}{\partial x_j}(i, j = 1, 2, \dots, n)$ 均连续,则 $g(\mathbf{x})$ 在 D 上是局部李氏的.

命题 若 $g(\mathbf{x})$ 在 D 上是局部李氏的,则 $g(\mathbf{x})$ 在 D 的任何有界闭区域上都是李氏的.

1.1.2 存在与唯一性定理

考虑微分方程组

$$\dot{\mathbf{x}} = f(\mathbf{x}, t), \quad (1.1)$$

其中: $\mathbf{x} = (x_1, \dots, x_n)^T$, $f(\mathbf{x}, t) : D \times I \rightarrow \mathbb{R}^n$, $I \subset \mathbb{R}$ 为开区间, $D \subset \mathbb{R}^n$ 为区域(I 可以为 \mathbb{R} , D 可以等于 \mathbb{R}^n).

定理 1.1(存在与唯一性定理) 设 $f(\mathbf{x}, t)$ 连续, $f(\mathbf{x}, t)$ 对 \mathbf{x} 在 D 上是局部李氏的,且对 $t \in I$ 有一致的李氏常数,则对 $t_0 \in I$, $x_0 \in D$ 存在常数 $h > 0$,使得在区间 $J = [t_0 - h, t_0 + h]$ 上微分方程(1.1)有唯一连续解 $\mathbf{x} = \mathbf{x}(t)$,且满足初始条件

$$\mathbf{x}(t_0) = \mathbf{x}_0. \quad (1.2)$$

1.2 解的延拓

存在唯一性定理确保了方程(1.1)在闭区间 $J = [t_0 - h, t_0 + h]$ 上存在唯一的解,现在把初始条件改为

$$\mathbf{x}(t_1) = \mathbf{x}(t_0 + h), \quad (1.3)$$

则由存在唯一性定理得:存在 $h_1 > 0$ 使方程(1.1)在区间 $J_1 = [t_0 + h - h_1, t_0 + h + h_1]$ 上有唯一确定的连续解,且方程(1.3)得到满足,设该解为 $\bar{\mathbf{x}}(t)$.由唯一性得:当 $t \in J \cap J_1$ 时, $\mathbf{x}(t) = \bar{\mathbf{x}}(t)$.这样方程(1.1)的解就向右延拓了,即找到了 $J \cup J_1$ 上的解.同理可以向左延拓.

从上面可以看出,解的延拓实际上是积分曲线的延长.那么这样左右延拓可以到什么时候为止,即解存在的最大区间是否存在?为此引入以下定理.

定理 1.2(解的延拓定理) 在定理 1.1 的条件下,令 $G = D \times I$,若 $\mathbf{x}(t)$ 是方程(1.1)满足方程(1.2)条件下在 $[t_0 - h, t_0 + h]$ 上的解,则存在 $\mathbf{x}(t)$ 的延拓解 $\bar{\mathbf{x}}(t)$,其最大存在区间为开区间,设为 (α, β) ,并且当 $t \rightarrow \alpha + 0, t \rightarrow \beta - 0$ 时积分曲线上的点 $(t, \bar{\mathbf{x}}(t))$ 趋于 G 的边界(若 G 无边界,则 $|t| + \|\bar{\mathbf{x}}(t)\| \rightarrow \infty$).

在定理 1.2 中,若 G 无界,对解向右延拓来说有下面两种情况:

(1) $\mathbf{x} = \mathbf{x}(t)$ 可以延拓到 $[t_0, +\infty)$ (即 $\beta = +\infty$);

(2) 若 $\mathbf{x}(t)$ 只可以延拓到 $[t_0, m]$, m 为有限,则当 $t \rightarrow m$ 时,或者 $\mathbf{x} = \bar{\mathbf{x}}(t)$ 无界,或者

$(t, \bar{x}(t))$ 趋于 G 的边界.

1.3 解对初值的连续性和可微性定理

由前面讨论可知, 对给定的 $x_0 \in D$ 存在唯一的满足初值条件 $x(t_0) = x_0$ 的解. 若初值 x_0 变化, 解也在变化, 我们想知道解的变化与初值的变化有什么关系. 设 $\mathbf{x} = \mathbf{x}(x_0, t)$ 是满足 $\mathbf{x}(t_0) = x_0$ 的解, 从而解也是 x_0 的函数, 对此函数有如下定理.

定理 1.3(解对初值的连续性和可微性定理) 若方程(1.1)的右端项 $f(\mathbf{x}, t)$ 对空间变量 \mathbf{x} 连续可微, 即 $\frac{\partial f_i}{\partial x_j}$ ($i, j = 1, 2, \dots, n$) 连续, 则方程对应初值 $\mathbf{x}(t_0) = x_0$ 的解 $\mathbf{x} = \mathbf{x}(x_0, t)$ 对 x_0 是连续可微的.

向量函数连续: 当 $x'_0 \rightarrow x_0$ 时, $\| \mathbf{x}(x'_0, t) - \mathbf{x}(x_0, t) \| \rightarrow 0$, $\frac{\partial \mathbf{x}(x_0, t)}{\partial x_0} = \left(\frac{\partial (\mathbf{x}(x_0, t))_i}{\partial (x_0)_j} \right)_{n \times n}$ 连续.

1.4 解对参数的连续性与可微性定理

考虑带参数的微分方程

$$\dot{y} = f(x, t; \mu), \mu \in I_1 \subset \mathbb{R}, \quad (1.4)$$

其中, $f(x, t; \mu)$ 是从 $D \times I \times I_1$ 到 \mathbb{R}^n 上的连续函数; I_1 是开区间, $f(x, t; \mu)$ 关于 x 是局部李氏的, 且对 t 和 μ 有一致的李氏常数(不依赖于 t 和 μ).

定理 1.4(解对参数的连续性与可微性定理) 若 $f(x, t; \mu)$ 对 x, μ 有连续的偏导, 上述条件具备, 则方程(1.4)的满足条件 $x(t_0, \mu) = x_0$ 的解 $\mathbf{x} = \mathbf{x}(x_0, t, \mu)$ 对 x_0, μ 连续可微. 若 $f(x, t; \mu)$ 对一切变量解析, 则其满足初始条件 $x(t_0, \mu) = x_0$ 的解 $\mathbf{x} = \mathbf{x}(x_0, t, \mu)$ 关于 μ 解析; 若 $f(x, t; \mu)$ 关于 x, t 和 μ 连续, 则方程(1.4)的解作为 x_0, t 和 μ 的函数均为连续.

第2章 常微分方程稳定性理论简述

2.1 基本概念

微分方程是用来描写物体或质点的运动规律的；微分方程的某一解表示质点可能出现的一种运动状态；微分方程的解依赖于初始值，由于不可避免的实际测量误差可能导致初值有误差，这样看来，若要把某一状态作为设计目标，就必须分析其稳定性。所谓某一状态的稳定性，是指其抵御外界干扰的能力。主要考虑定态(steady state)解的稳定性。请观察一个简单的例子。

例 2.1 考虑微分方程

$$\dot{x} = ax, \quad (2.1)$$

a 是常数，其通解为 $x = ce^{at}$ (c 为任意常数)。显然 $x = 0$ 为一特解，且为一定态解(与时间无关)，称之为零解。由通解可以看出：

(1) $a < 0$ 时，所有初值不为零的解当 $t \rightarrow \infty$ 时都趋于零解；

(2) $a > 0$ 时，所有初值不为零的解当 $t \rightarrow \infty$ 时都离零解越来越远，如图 2.1 所示。

对于情况(1)，称零解是稳定的；而情形(2)，称零解是不稳定的。

若考虑微分方程

$$\dot{x} = a(x - A), \quad (2.2)$$

其中 a, A 为常数，定态解为 $x = A$ ，通解为 $x = ce^{at} + A$ 。易见 $x = A$ 的稳定性与前面讨论的零解的稳定性完全相同。只需作变换 $y = x - A$ 便可以把方程(2.2)化为方程(2.1)的形式。

若考虑方程组

$$\dot{x} = f(x, t) \quad (x \in \mathbf{R}^n, f: \mathbf{R}^n \times \mathbf{R} \rightarrow \mathbf{R}^n) \quad (2.3)$$

的某特解 $x = x_0(t)$ 的稳定性时，可先令 $y = x - x_0(t)$ ，代入(2.3)并整理得

$$\dot{y} = f(y + x_0(t), t) - x'_0(t) = g(y, t). \quad (2.4)$$

显然有 $g(0, t) = 0$ ，这说明系统(2.3)的解 $x = x_0(t)$ 对应于系统(2.4)的零解。这样就把一个非零解的稳定性问题转化为零解的稳定性问题来研究。因此，以后只考虑零解的稳定性问题。下面给出稳定的数学描述，也称 Lyapunov 稳定性定义。

定义 2.1 设系统(2.3)中的 $f(x, t)$ 满足 $f(0, t) = 0$ ，且在 $x = 0$ 附近满足存在唯一性定理的条件。

(1) 若对 $\forall \epsilon > 0$ ，存在 $\delta > 0$ ，使当 $\|x_0\| < \delta$ 时，初值问题

$$\begin{cases} \dot{x} = f(x, t), \\ x(t_0) = x_0, \end{cases} \quad t > t_0 \quad (2.5)$$

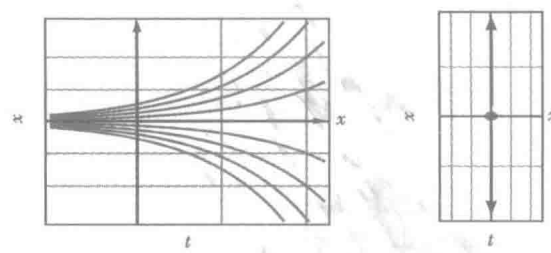


图 2.1 系统 $\dot{x} = ax$, 在 $a > 0$ 时的解曲线示意图,
每条曲线均表示一个特解

的解 $x(t)$ 满足 $\|x(t)\| < \epsilon$ ($t \geq t_0$), 则称系统(2.3)的零解是稳定的.

(2) 若零解稳定, 且存在 $\delta_0 > 0$, 使当 $\|x_0\| < \delta$ 时, 初值问题(2.5)的解 $x(t)$ 满足 $\lim_{t \rightarrow +\infty} \|x(t)\| = 0$, 则称系统的零解是渐近稳定的.

(3) 若系统(2.3)的零解是渐近稳定的, 且存在区域 D_0 , 当且仅当 $x_0 \in D_0$ 时, 初值问题(2.5)的解 $x(t)$ 满足 $\lim_{t \rightarrow +\infty} \|x(t)\| = 0$, 此时称 D_0 为吸引域, 若 $D_0 = \mathbb{R}^n$ (即全空间), 则称零解是全局稳定的(或无条件稳定的), 反之称为条件稳定的.

(4) 若存在 $\epsilon_0 > 0$, 使得对任意 $\delta > 0$, 有 $\|x_0\| < \delta$, 仍有对任一时间 \bar{t}_0 , 总存在某时刻 $t_1 > \bar{t}_0$, 使得初值问题(2.5)的解 $x(t)$ 满足 $\|x(t)\| > \epsilon_0$, 此时称零解是不稳定的.

例 2.2 考虑初值问题

$$\begin{cases} \frac{dy}{dt} = y - y^2, \\ y(0) = y_0, \end{cases} \quad (2.6)$$

显然, $y_1 = 0$, $y_2 = 1$ 分别是泛定方程的两个定态解, 且分别满足初始条件 $y_1(0) = 0$, $y_2(0) = 1$, 该定解问题的其他解可表示为 $y = \frac{1}{1 + [y_0^{-1} - 1]e^{-t}}$.

其积分曲线如图 2.2 所示.

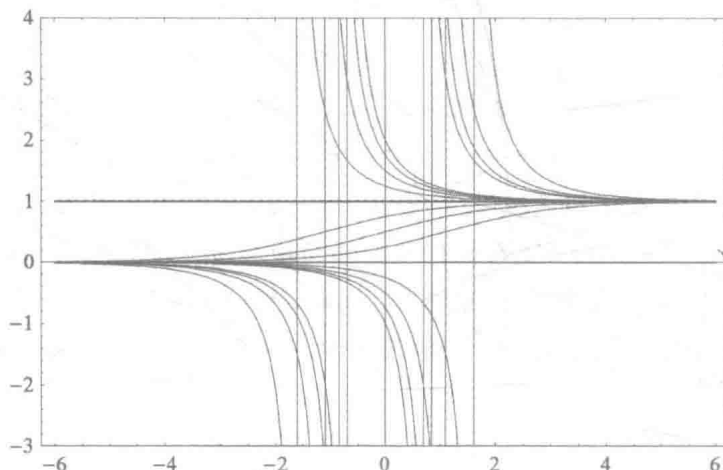


图 2.2 $y' = y - y^2$ 的方程积分曲线示意图

用 Mathematica 求解:

$$D[\{y'[t]==y[t]-y[t]^2, y[0]==y_0\}, y[t], t];$$

得到结果: $\frac{e^t y_0}{1 - y_0 + e^t y_0}$.

显然若 $y_0 = 0$, 则 $y(t) \equiv 0$; 若 $y_0 = 1$, 则 $y(t) \equiv 1$, 两个定态解, 从图 2.2 可以看出解 $y(t) \equiv 1$ 是渐近稳定的, $y(t) \equiv 0$ 是不稳定的, 同时还可以看出, 从初值 $y_0 < 0$ 出发的解在有限时刻趋于无穷, 这种现象称为解的破裂 (blow up).

解的破裂是指解析解在有限时间内解本身或其某些导数趋于无穷, 这实际上是一种非线性效应; 一般说来, 在偏微分方程中, 对于线性问题只要初值适当光滑, 则初值问题的解也有一定的光滑性, 且解在 $\mathbf{R}_+ = (0, +\infty)$ 上存在; 而非线性演化方程的解析解一般只能在有限时间段内存在, 即使对充分光滑的初值也是如此. 另外, 对上述例子很容易确定定态解 $y(t) = 1$ 的稳定区域, 即吸引域.

2.2 二维自治系统的稳定性

对于二维微分方程组

$$\begin{cases} \dot{x} = f_1(x, y, t), \\ \dot{y} = f_2(x, y, t), \end{cases} \quad (x, y \in \mathbf{R}, t > 0), \quad (2.7)$$

若函数 f_1 和 f_2 满足解的存在唯一性定理的条件(如有连续的偏导数), 则过任一点 (x_0, y_0) 有唯一解, 设为 $x = x(t)$, $y = y(t)$, 这个解所表示的曲线称为积分曲线(时间历程图). 若把 t 看成参数, 把 $(x(t), y(t))$ 描到 Oxy 平面上就得到一条曲线, 称为轨线(相图). 我们把二维平面 Oxy 称为相平面, 对于更高维的情形称为相空间. 所谓相空间, 是要研究的物理量本身(如位移、速度、密度、温度等)作为坐标分量所成的广义空间. 最常见的是以位移和速度作为分量.

若系统(2.7)的右边函数与 t 无关, 此时称系统为二维自治系统.

类似可定义 n 维自治系统 (autonomous system), 图 2.3 为一个三维系统的轨线与积分曲线.

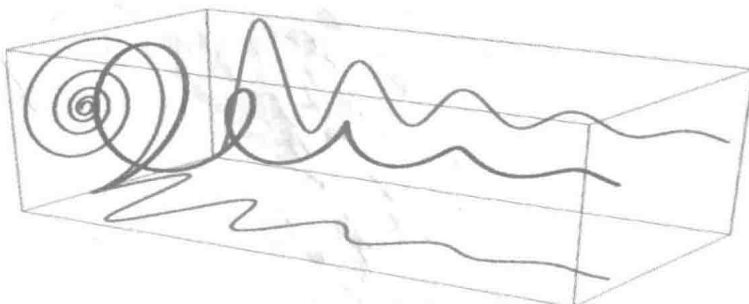


图 2.3 三维系统的轨线与积分曲线示意图

1. 自治系统轨线的简单性质

现在就 n 维自治系统给出其轨线的性质. 考虑 n 维自治系统:

$$\dot{x} = f(x), \quad (2.8)$$

其中 $x \in \mathbb{R}$, $f(x) : \Omega \rightarrow \mathbb{R}^n$, $\Omega \subset \mathbb{R}^n$, Ω 为开区域. 若 $f(x)$ 在 Ω 上局部是李氏的, 则对任意 $x_0 \in \Omega$ 方程(2.8)有唯一的满足初始条件 $x(0) = x_0$ 的解(解的存在唯一性定理), 记此解为 $x = x(x_0, t)$. 设 $J(x_0)$ 为其存在的最大区间, 在上述假设下有如下定理.

定理 2.1 若 $x(t)(t \in J)$ 为方程(2.8)的解, 则对任意实数 h , $x(t+h)$ 也是方程(2.8)的解, 其定义区间为 $J_h = \{t | t+h \in J\}$.

该定理告诉我们不同的解可以对应相同的轨线.

定理 2.2 若 $x(t)$ 和 $\tilde{x}(t)$ 均为方程(2.8)的解, 其定义区间分别为 J 和 \tilde{J} , 若存在 $t_0 \in J$, $\tilde{t}_0 \in \tilde{J}$, 使 $x(t_0) = \tilde{x}(\tilde{t}_0)$, 则对任 $t \in \tilde{J}$ 有 $\tilde{x}(t) = x(t + t_0 - \tilde{t}_0)$.

该定理告诉我们不同的轨线不能相交. 关于自治系统轨线的性质将在下一章作进一步讨论.

定义 2.2 若有 $x^* \in \Omega$ 满足 $f(x^*) = 0$, 则称 x^* 是系统(2.8)的奇点(也称平衡点). 显然奇点对应方程的一个定态解.

2. 常系数线性系统

首先考虑最简单的自治系统

$$\begin{cases} \dot{x} = a_{11}x + a_{12}y, \\ \dot{y} = a_{21}x + a_{22}y, \end{cases} \quad (2.9)$$

若令 $A = \begin{pmatrix} a_{11} & a_{12} \\ a_{21} & a_{22} \end{pmatrix}$, 则系统可写为 $\dot{\bar{x}} = A\bar{x}$, 其中 $\bar{x} = \begin{pmatrix} x \\ y \end{pmatrix}$, 对该方程作非退化的线性变换 $\begin{pmatrix} x \\ y \end{pmatrix} = T \begin{pmatrix} \xi \\ \eta \end{pmatrix}$, 代入上述方程得 $\begin{pmatrix} \dot{\xi} \\ \dot{\eta} \end{pmatrix} = TAT^{-1} \begin{pmatrix} \xi \\ \eta \end{pmatrix}$, 即原线性方程组通过非退化的线性变换后变成一新的线性方程组, 该线性方程组的系数矩阵与原线性方程组的系数矩阵相似.

(1) $|A| \neq 0$.

若 A 有互异的实特征值 λ_1, λ_2 , 此时由线性代数知识可知, A 可以通过非退化的线性变换变成 $B = \begin{pmatrix} \lambda_1 & 0 \\ 0 & \lambda_2 \end{pmatrix}$. 由于非退化的线性变换不会改变奇点的位置和其轨线的拓扑性质, 因

此只需考虑方程组 $\begin{cases} \dot{\xi} = \lambda_1 \xi, \\ \dot{\eta} = \lambda_2 \eta \end{cases}$ 的解. 该方程组有通解 $\xi = C_1 e^{\lambda_1 t}, \eta = C_2 e^{\lambda_2 t}$, 其中 C_1, C_2 为任意常数.

情形 1 $\lambda_1, \lambda_2 < 0$, 见图 2.4.

显然, 当 $\lambda_1, \lambda_2 < 0$ 时, 零解是渐近稳定的, 此时称奇点为稳定的结点.

例如: $\begin{cases} \dot{y} = -x - 2y, \\ \dot{y} = 3x - 6y, \end{cases} A = \begin{bmatrix} -1 & -2 \\ 3 & -6 \end{bmatrix}$, A 的特征值与特征向量分别为

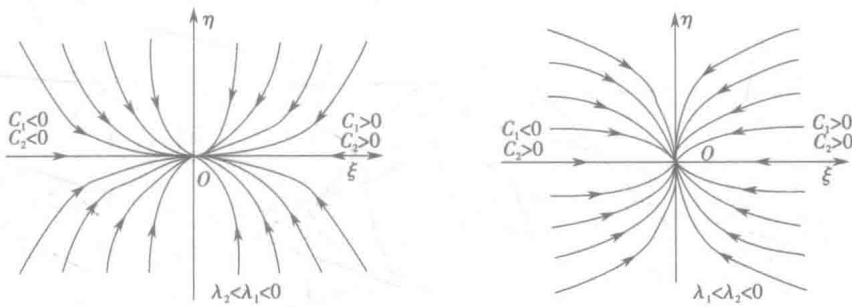


图 2.4 二维线性系统特征值全部为负时, 系统结点附近相图的示意图

$\lambda_1 = -4, \lambda_2 = -3$; $u = C_1 \begin{bmatrix} 2 \\ -3 \end{bmatrix}, v = C_2 \begin{bmatrix} 1 \\ 1 \end{bmatrix}, C_1 C_2 \neq 0$, 可取变换矩阵 $T = \begin{bmatrix} 2 & 1 \\ 3 & 1 \end{bmatrix}$,

则设 $X = \begin{bmatrix} x \\ y \end{bmatrix}, Y = \begin{bmatrix} \xi \\ \eta \end{bmatrix}, X = TY, \dot{X} = T\dot{Y} = A(TY), \dot{Y} = (T^{-1}AT)Y$,
 $T^{-1}AT = \begin{bmatrix} -4 & 0 \\ 0 & -3 \end{bmatrix}$, 即有 $\begin{cases} \dot{\xi} = -4\xi; \\ \dot{\eta} = -3\eta. \end{cases}$

情形 2 $\lambda_1, \lambda_2 > 0$, 轨线图与情形 1 相同, 但方向相反. 奇点为不稳定的结点.

情形 3 λ_1, λ_2 异号, 见图 2.5. 此时的奇点为鞍点, 鞍点是不稳定的.

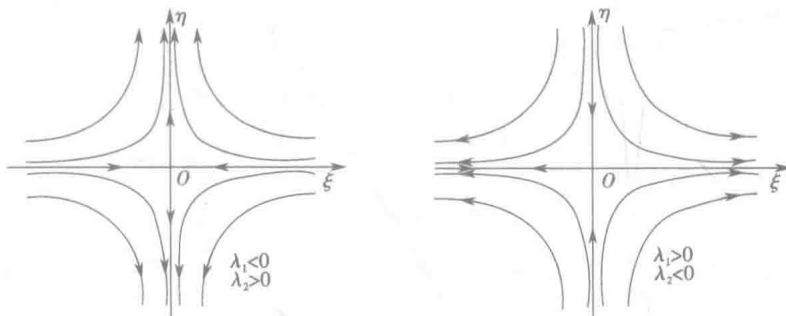


图 2.5 二维线性系统特征值符号互异时, 系统鞍点附近相图的示意图

若 $\lambda_1 = \lambda_2, a_{12} \neq 0$ 或 $a_{21} \neq 0 (a_{12}^2 + a_{21}^2 \neq 0)$, 此时矩阵 A 可通过非退化的线性变换变成 B
 $= \begin{bmatrix} \lambda & 1 \\ 0 & \lambda \end{bmatrix}$, 解方程 $\begin{cases} \dot{\xi} = \lambda\xi + \eta, \\ \dot{\eta} = \lambda\eta, \end{cases}$ 得 $\xi = (C_1 t + C_2) e^{\lambda t}, \eta = C_1 e^{\lambda t}$.

情形 1 若 $\lambda < 0$, 则零解是渐近稳定的, 对于轨线有 $C_1 = 0 \Leftrightarrow \xi$ 轴的左右半轴.

当 $C_1 \neq 0, t = -\frac{C_2}{C_1}$ 时, $\xi = 0$, 即 $t = -\frac{C_2}{C_1}$ 轨线与 η 轴相交.

又由 $\frac{\eta(t)}{\xi(t)} = \frac{C_1}{C_1 t + C_2} \rightarrow 0$, 得轨线切于 ξ 轴.

此时称奇点为稳定的退化结点.

情形 2 若 $\lambda > 0$, 奇点对应的零解是不稳定的, 当 $t \rightarrow \infty$ 时轨线远离零点而去, 从而零点是不稳定的退化结点. 图 2.6 中的虚线表示轨线在 $t < 0$ 时的情形.